

Tableaux et graphiques complémentaires

1.1 Ensemble des données

L'ensemble des données utilisées pour réaliser ces travaux sont présentées dans cette section. L'ensemble des scanners des 2 patients, Patient A et Patient B, sont présentés ici. On présentera ensuite l'ensemble des histogrammes des niveaux de gris, correspondant à la zone tumorale contournée manuellement sur les scanners.

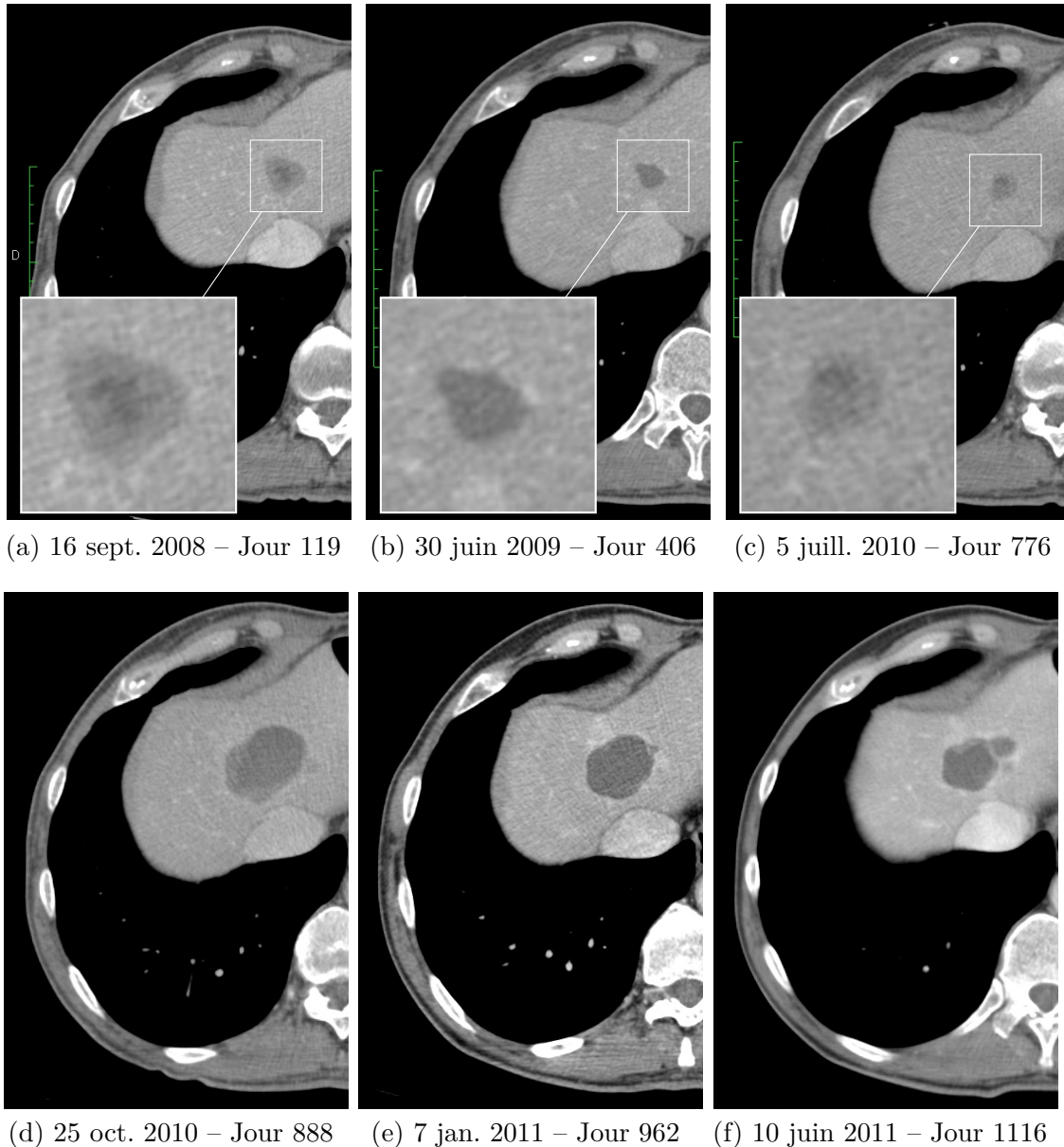


FIGURE 1.1 – Evolution spatiale de la métastase hépatique de Patient A sur une série de scanners.

1.1.1 Scanners de Patient A

Patient A est traité avec de l'imatinib du jour 119 au jour 867, jour où la rechute est constatée. Le sunitinib est ensuite administré, et là aussi le traitement est efficace avant une rechute débutant au jour 1116. Sur la figure ci-dessous, on peut visualiser l'ensemble des scanners réalisés sur ce patient.

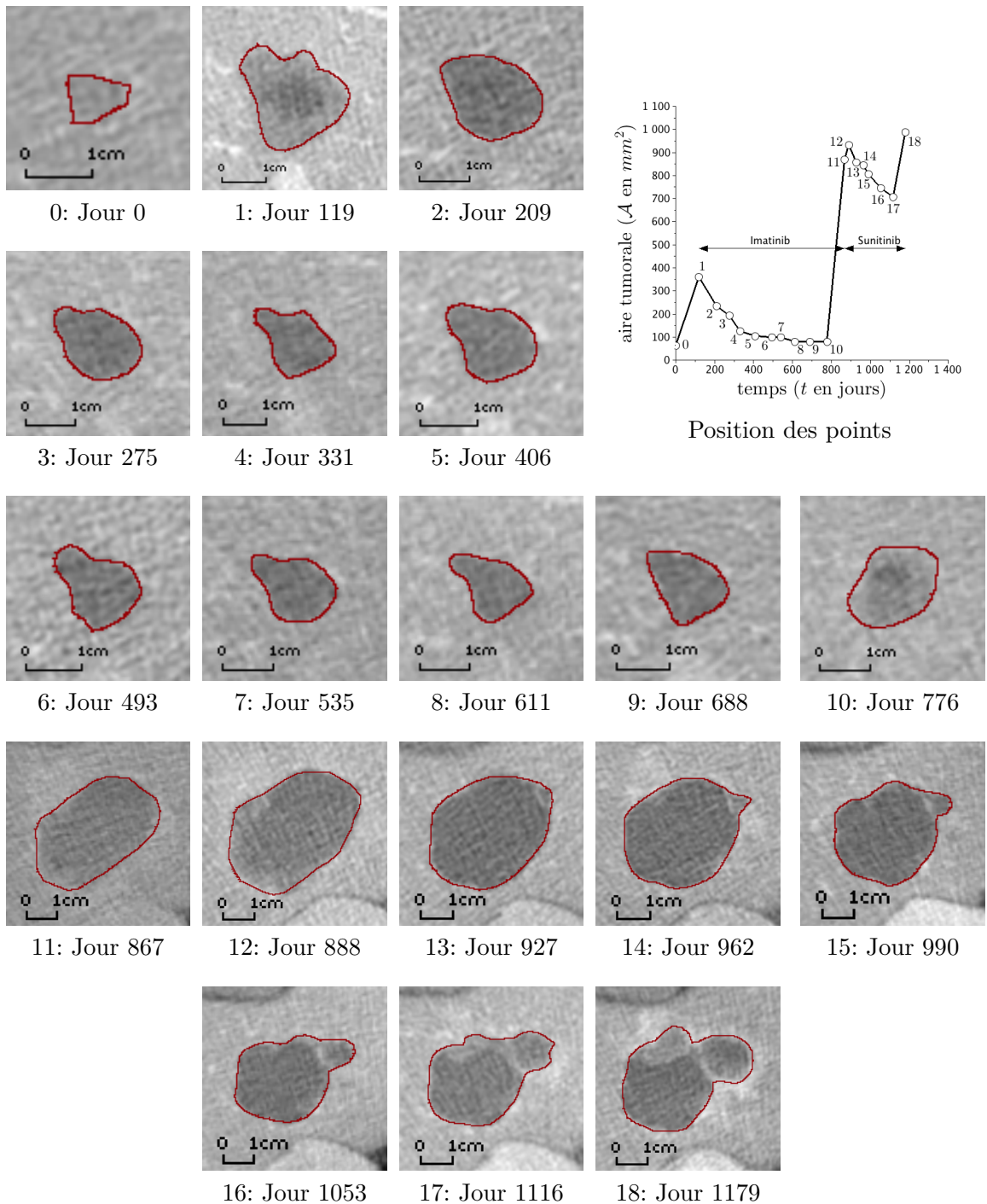


FIGURE 1.2 – Contourage manuel de la tumeur de Patient A.

1.1.2 Scanners de Patient B

Patient B est d'abord traité à l'imatinib, du jour 0 au jour 845. Après une rechute, le sunitinib est utilisé mais il est totalement inefficace. Au jour 1600, le troisième traitement (sorafenib) est démarré. Sur la figure ci-dessous, on peut visualiser l'ensemble des scanners réalisés sur ce patient.

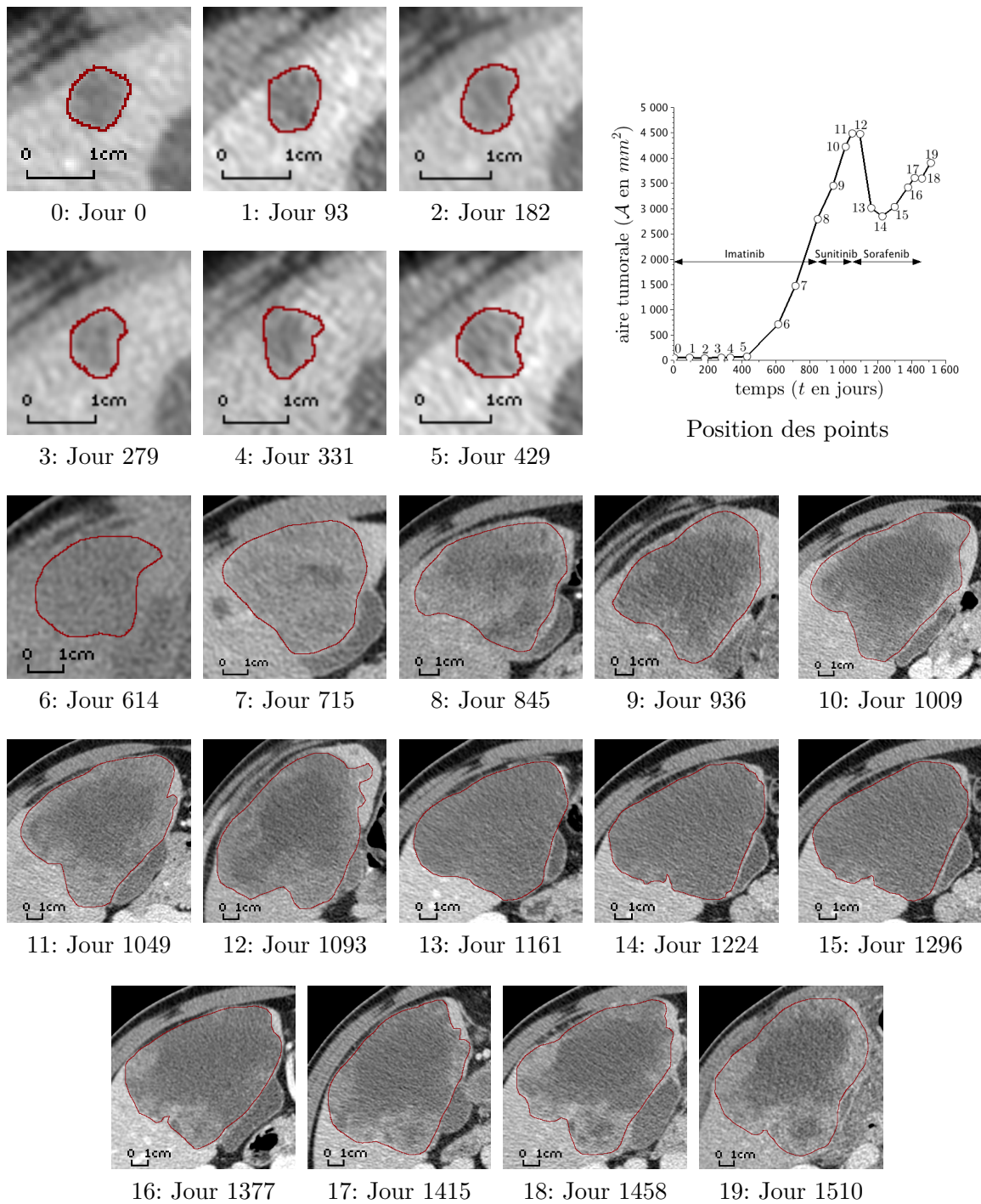


FIGURE 1.3 – Contourage manuel de la tumeur de Patient B.

1.1.3 Histogrammes cliniques de Patient A

Ci-dessous est présenté l'ensemble des histogrammes numérique de Patient A, correspondant au niveaux de gris des régions contournées sur les scanners (*cf.* Figure 1.2).

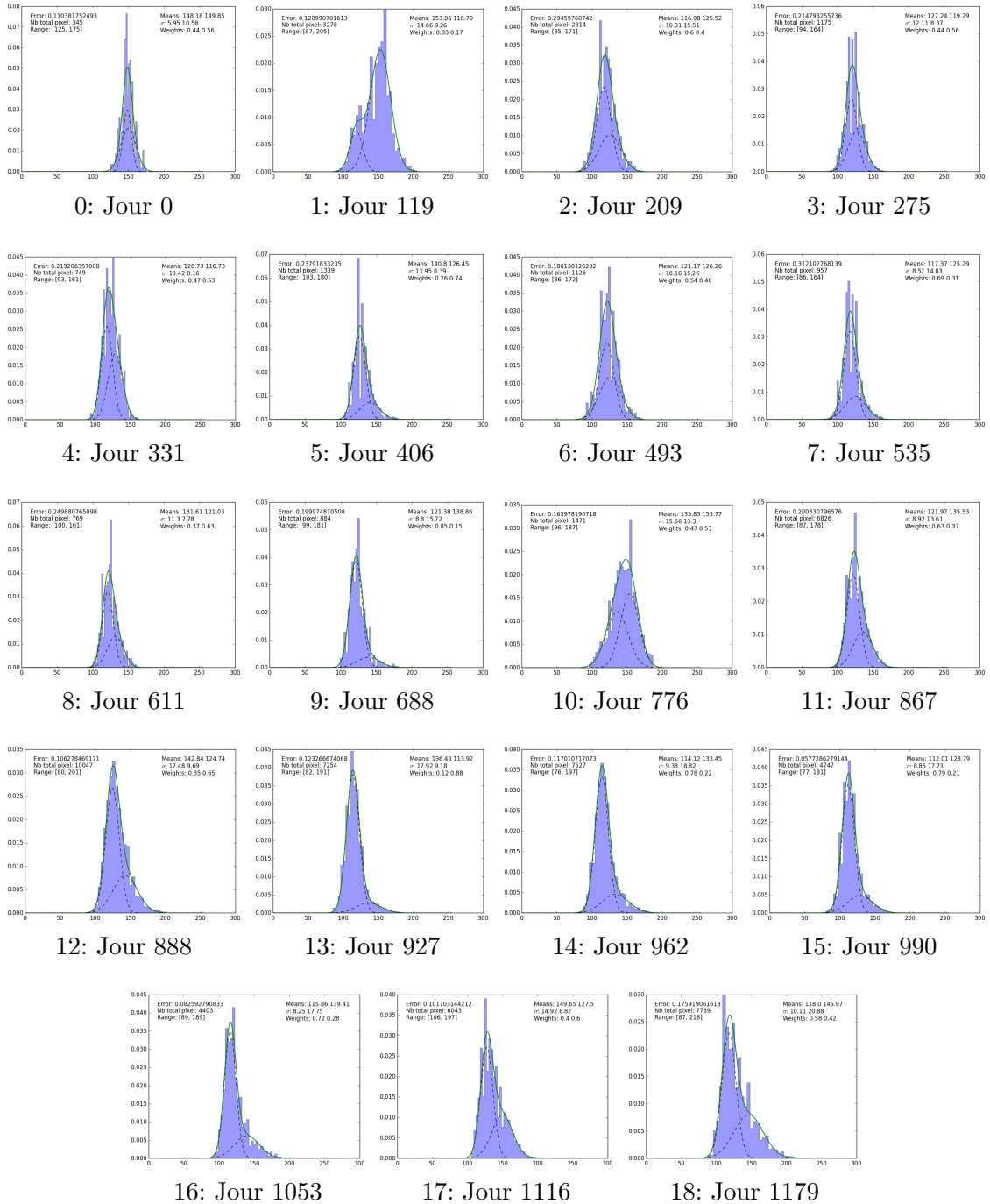


FIGURE 1.4 – Histogramme clinique de la tumeur de Patient A.

1.1.4 Histogrammes cliniques de Patient B

Ci-dessous est présenté l'ensemble des histogrammes numériques de Patient A, correspondant au niveaux de gris des régions contournées sur les scanners (*cf.* Figure 1.2).

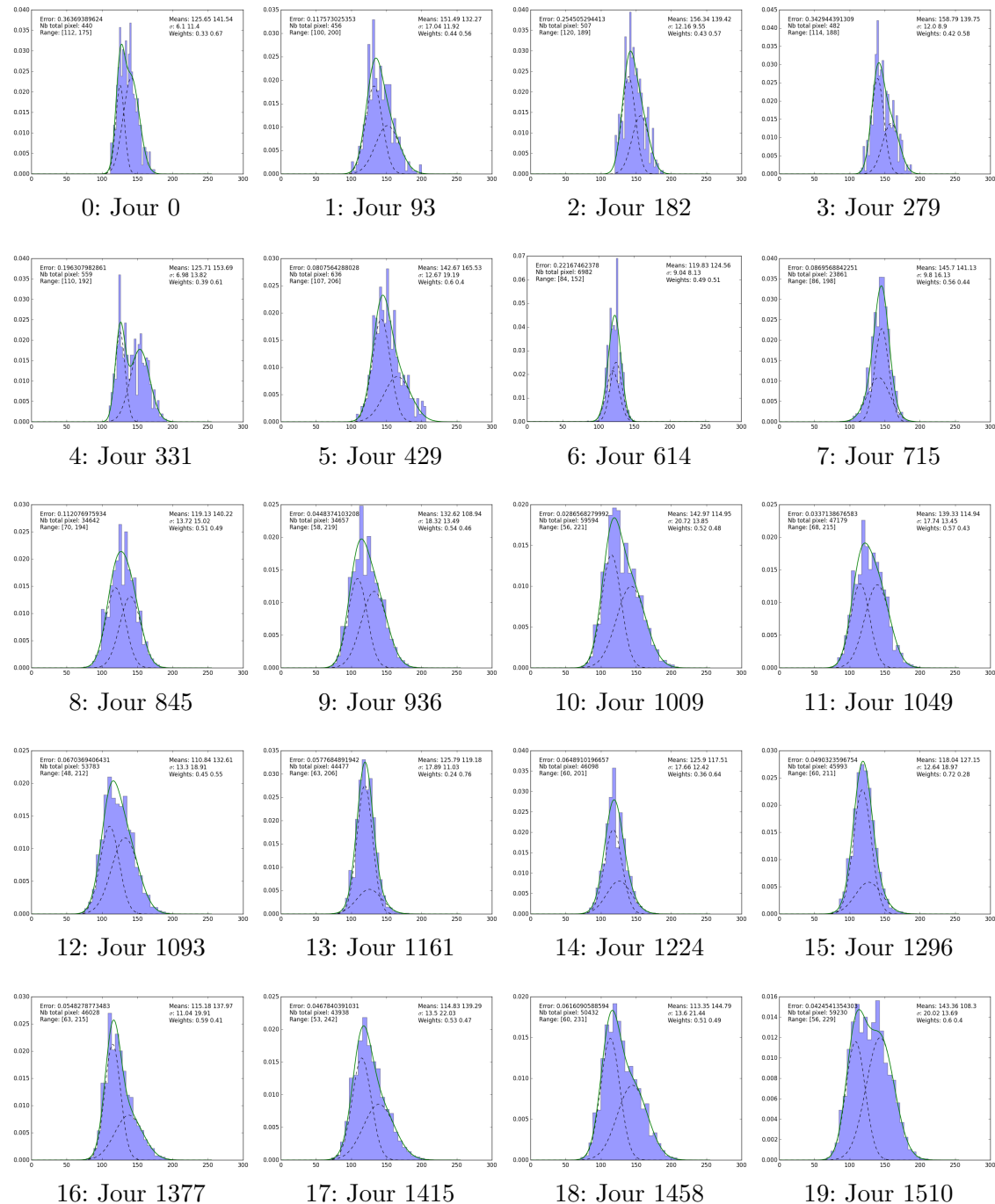
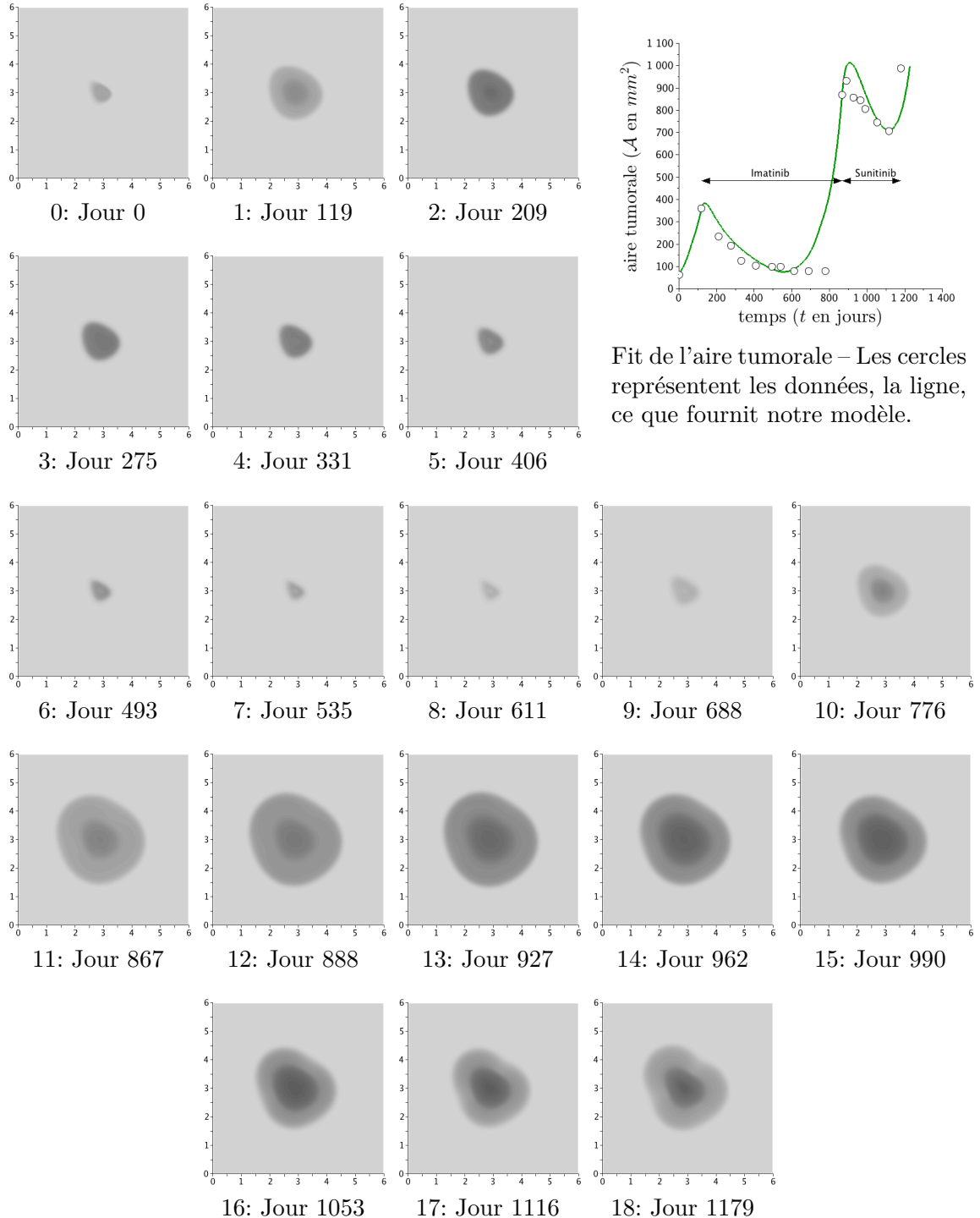


FIGURE 1.5 – Histogramme clinique de la tumeur de Patient B.

1.2 Simulations numériques

1.2.1 Patient A



Fit de l'aire tumorale – Les cercles représentent les données, la ligne, ce que fournit notre modèle.

FIGURE 1.6 – Simulation numérique pour Patient A – Graduations en cm – L'échelle des niveaux de gris est donnée par la Figure ?? – Les valeurs des paramètres pour réaliser cette simulations numériques sont présentées dans la Table ??.

1.2.2 Patient B

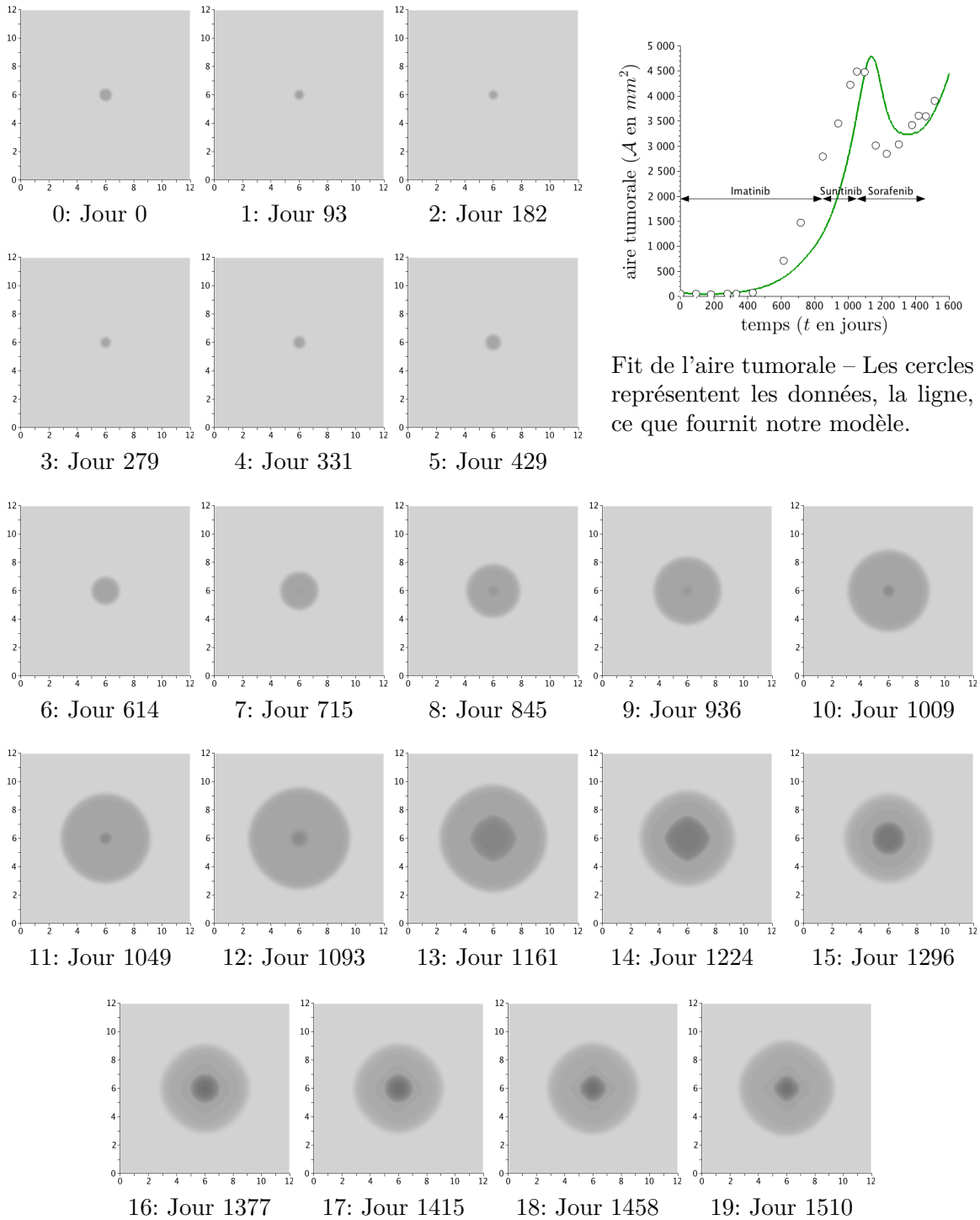


FIGURE 1.7 – Simulation numérique pour Patient B– Graduations en cm – L'échelle des niveaux de gris est donnée par la Figure ?? – Les valeurs des paramètres pour réaliser cette simulations numériques sont présentées dans la Table ???. – Pour ce patient, pas d'intention de reproduire la forme de la tumeur.

1.3. Valeur des paramètres pour les simulations numériques de la Figure ?? :

1.3 Valeur des paramètres pour les simulations numériques de la Figure ?? :

L'ensemble des paramètres utilisés pour réaliser la simulation numérique présentée Figure ?? de la section ?? est présenté dans la Table 1.1.

Nom	a)	b)	c)	d)	e)	f)	g)
γ_0	2.0e-2	2.03e-2	2.0e-2	1.97e-2	1.33e-2	1.33e-2	1.33e-2
γ_1	6.67e-3	1.0e-2	1.0e-2	1.0e-2	1.0e-2	1.0e-2	1.0e-2
C_S	10	10	10	10	10	10	10
M_{th}	2	2	2	2	2	2	2
δ	2.67e-2	3.0e-2	5.0e-2	3.0e-2	3.0e-2	3.0e-2	3.0e-2
ψ	3.33e-3						
η	6.67e-2						
α	1.11e-3						
λ	2.0e-2						
C_0	3.33e-2						
k	1	1	1	1	1	1	1
T_{ini}^1	119	119	119	119	119	119	119
T_{end}^1	3000	867	867	867	300	300	300
T_{ini}^2	3000	867	867	867	300	300	300
T_{end}^2	3000	1700	1298	1700	1700	1700	1700
μ_1	8.33e-3						
ν_2	0.9	0.9	0.99	0.9	0.9	0.9	0.9
μ_2	6.0e-4	6.0e-4	6.6e-4	6.0e-4	6.0e-4	6.0e-4	6.0e-4
ϵ_{th}	1.0e-2						
Σ_{ini}	0	4e-06	4e-06	2e-06	1	1	0.9
q_{ini}	0	0	4.5e-2	1	2e-07	3.0e-2	0.9
ξ_{ini}	3.33e-3						
L, D	6	6	6	6	6	6	6
N_x, N_y	120	120	120	120	120	120	120
r_1, r_2	0.62	0.62	0.62	0.62	0.62	0.62	0.62
e	0	0	0	0	0	0	0
β	0	0	0	0	0	0	0

TABLE 1.1 – Valeur des paramètres pour les courbes présentées Figure ??.